Runge-Kutta法に関する二三の話題

I 4段較7次陰的Runge-Kutta法について

山梨大工 田中正次 (Masatougn Tanaka) 山下 茂 (Shigeru Yamashita) 福井康人 (Yasuhito Tukui) 渡山 博 (Hiroshi Watanaba)

1. まんがち

着者たちは、これまで2段数及び3段数陰的Runge-Kutta はの打ち切り誤差特性及が安定特性について研究し、可能で 有効なすべての公介の特性が一見して直観的に把握できるが うつを作成し、その恩を利用して政知公文の評価と改良・む 公式の導出を試みた。この研究はそれらの姉妹編で、月様な 目的と言目に基いてなされたものである。

2. 4 寂敷陰的 Runge-Kutta 法

初期值內題

9' = f(x, 9) $9(x_0) = 9_0$ (21)

にないて、f(z,y)は十分滑らかで必要な限りの等肉較みが偏

尊用散をもつものとする。

 $\chi=\chi_n$ にかける数値解 y_n がよれられているとき、 $\chi=\chi_{n+1}$ にかける数値解 y_{n+1} き、次に示す $(2\cdot 2)$ みが $(2\cdot 3)$ 式によって成 める方法を、4 終数隊的 Runge-Kutta 法という。

 $y_{n+1} = y_n + w_1 + w_2 + w_3 + w_4 + w_4 + w_5 + w_5 + w_6 +$

 $R_1 = hn f(x_n + a_1hn, y_n + b_1)R_1 + b_12R_2 + b_13R_3 + b_14R_4)$ $R_2 = hn f(x_n + a_2hn, y_n + b_2)R_1 + b_22R_2 + b_23R_3 + b_24R_4)$ $R_3 = hn f(x_n + a_3hn, y_n + b_3)R_1 + b_32R_2 + b_33R_3 + b_34R_4)$ $R_4 = hn f(x_n + a_4hn, y_n + b_4)R_1 + b_42R_2 + b_43R_3 + b_44R_4)$ $T = hn f(x_n + a_4hn, y_n + b_4)R_1 + b_42R_2 + b_43R_3 + b_44R_4)$

注1) 段数とはその公式の1回の実行にかける関数評価回数である。

一般に、S程数後的 Runge-Kutta はの達成可能次数は25次であることが知られている。しかしここでは、解平の自由ルラメータの選が方により特性が多様な変化を示す、4轮散り次降的Runge-Kutta 法について考察する。

3. 次数年件式ともの解

4程散り次陰的Runge-Kuta法の次散年件本は、24個の195 メータに関する89個の方程式車になるが、Butcherの条件を用いてもの中小倉まれる多数の一次從属な方程かを降くと、長 終的には次に年寸24個のやうメータに関する22個の方程式車に帰着される。

$$B(7) : \sum_{i=1}^{4} w_{i} = 1$$

$$\sum_{j=1}^{4} w_{i} a_{i} = 1/2$$

$$\sum_{i=1}^{4} w_{i} a_{i}^{2} = 1/3$$

$$\sum_{i=1}^{4} w_{i} a_{i}^{3} = 1/4$$

$$\sum_{i=1}^{4} w_{i} a_{i}^{4} = 1/5$$

$$\sum_{i=1}^{4} w_{i} a_{i}^{5} = 1/6$$

$$\sum_{i=1}^{4} w_{i} a_{i}^{6} = 1/7$$

$$C(3) : \sum_{j=1}^{4} b_{ij} = a_{i} \qquad (i=1, 2, 3, 4)$$

$$\sum_{j=1}^{4} b_{ij} a_{j} = a_{i}^{2}/2 \qquad (i=1, 2, 3, 4)$$

$$\sum_{j=1}^{4} b_{ij} a_{j}^{2} = a_{i}^{3}/3 \qquad (i=1, 2, 3, 4)$$

$$D(3) : \sum_{i=1}^{4} w_{i} b_{ij} = w_{i} (1-a_{i}) * \qquad (j=1, 2, 3, 4)$$

$$\sum_{i=1}^{4} w_{i} a_{i} b_{ij} = w_{i} (1-a_{i}^{2})/2 * \qquad (j=1, 2, 3, 4)$$

$$\sum_{i=1}^{4} w_{i} a_{i}^{2} b_{ij} = w_{i} (1-a_{i}^{3})/3 * \qquad (j=1, 2, 3, 4)$$

(ただし*の式において一次独立な式はそれぞれ1つしかない)

上の水敷条件式(3·1)をa4,b44を自由ルラメータとして解くと,以下に千寸解至(3·2)が得られる。

(700a4³-1050a4²+420a4-35)a3³+(-1050a4³+1620a4²-675a4+60)a3²+(420a4³-675a4²+300a4-30)a3+(-35a4³+60a4²-30a4+4)=0
(a3をa4で表わすには、上の3次方程式を解く)

$$az = \sqrt{\frac{5(28((40ax^2-24ax^3)a3-20(3ax-2)a3^2ax-3ax+2)(105a3^2ax-70ax^2)}{12(ax^2+6bx-2)a^2}} \frac{212ax^2-16ax^2}{2x^2-168ax^2ax-21ax^2-168axax^2+54axax+50ax} - \frac{12ax^2+6bx-2x^2}{14(0)ax^2ax^2-840ax^2ax-105ax^2-840axx^2+270axax+250ax-105ax^2+250ax} - \frac{30axaxax-20(axax+2xax+axax)+15(axx+ax+ax)-12}{60axaxax-30(axax+2xax+axax)+20(axx+ax+ax)-15}$$

$$w_1 = -\frac{12axaxax-6axax-6axax+4ax+4ax-6axax+4ax+4ax-3}{12(ax-ax)(ax-ax)(ax-ax)} \frac{12axaxax-6axax+4ax+4ax-6axax+4ax+4ax-3}{12(ax-ax)(ax-ax)(ax-ax)}$$

$$w_2 = \frac{12axaxax-6axax-6axax+4ax+6axax+4ax+4ax-3}{12(ax-ax)(ax-ax)(ax-ax)} \frac{12(ax-ax)(ax-ax)(ax-ax)}{12(ax-ax)(ax-ax)(ax-ax)}$$

$$w_3 = -\frac{12axaxax-6axax-6axax+4ax+4ax-6axax+4ax+4ax-3}{12(ax-ax)(ax-ax)(ax-ax)} \frac{12(ax-ax)(ax-ax)(ax-ax)}{(ax-ax)(ax-ax)(ax-ax)}$$

$$b_{41} = \frac{6(ax-ax)(ax-ax)bxx+3(ax+ax)ax^2-2ax^3-6axaxxx}{6(ax-ax)(ax-ax)bxx+3(ax+ax)ax^2-2ax^3-6axaxxx}{6(ax-ax)(ax-ax)bxx+3(ax+ax)ax^2-2ax^3-6axaxxx}{6(ax-ax)(ax-ax)bxx+3(ax+ax)ax^2-2ax^3-6axaxxx}$$

$$b_{42} = \frac{6(ax-ax)(ax-ax)bxx+3(ax+ax)ax^2-2ax^3-6axaxxx}{6(ax-ax)(ax-ax)bxx+3(ax+ax)ax^2-2ax^3-6axaxxx}{6(ax-ax)(ax-ax)bxx+3(ax+ax)ax^2-2ax^3-6axaxxx}{6(ax-ax)(ax-ax)bxx+3(ax+ax)ax^2-2ax^3-6axaxxx}{6(ax-ax)(ax-ax)bxx+3(ax+ax)ax^2-3(2ax-1)ax}$$

$$b_{43} = \frac{(6(ax-ax)(ax-ax)bxx+3(ax+ax)ax^2-2ax^3-6axaxxx}{6(ax-ax)(ax-ax)bxx+3(ax+ax)ax^2-3(2ax-1)ax}$$

$$b_{44} = \frac{(6(ax-ax)(ax-ax)bxx+3(ax+ax)ax^2-3(2ax-1)ax}{6(ax-ax)(ax-ax)bxx-3(ax+ax)ax^2-3(2ax-1)ax}$$

$$b_{44} = \frac{(6(ax-ax)(ax-ax)bxx+3(ax+ax)ax^2-3(2ax-1)ax}{6(ax-ax)(ax-ax)bxx-3(ax+ax)ax^2-3(2ax-1)ax}$$

$$b_{44} = \frac{(6(ax-ax)(ax-ax)bxx+3(ax+ax)ax^2-3(2ax-1)ax}{6(ax-ax)(ax-ax)bxx-3(ax+ax)ax^2-3(2ax-1)ax}$$

$$b_{44} = \frac{(6(ax-ax)(ax-ax)bxx+3(ax-ax)ax^2-3(2ax-1)ax}{6(ax-ax)(ax-ax)ax^2-3(ax-ax)ax^2-3(2ax-1)ax}$$

$$b_{44} = \frac{(6(ax-ax)(ax-ax)bxx+3(ax-ax)ax^2-3(ax-ax)ax^2-3(ax-ax)ax}{6(ax-ax)(ax-ax)ax^2-3(ax-ax)ax^2-3(ax-ax)ax}$$

$$b_{11} = -\frac{3(a_2+a_3)a_1^2+6(a_2-a_4)(a_3-a_4)b_14-2a_1^3-6a_1a_2a_3}{6(a_1-a_2)(a_1-a_3)}$$

$$b_{12} = \frac{6(a_1-a_4)(a_3-a_4)b_14+a_1^3-3a_1^2a_3}{6(a_1-a_2)(a_2-a_3)}$$

$$b_{13} = -\frac{6(a_1-a_4)(a_2-a_4)b_14+a_1^3-3a_1^2a_2}{6(a_1-a_3)(a_2-a_3)}$$

$$b_{21} = \frac{6(a_2-a_4)(a_3-a_4)b_2a_4+a_2^3-3a_2^2a_3}{6(a_2-a_1)(a_1-a_3)}$$

$$b22 = -\frac{3(a_1+a_3)a_2^2+6(a_1-a_4)(a_3-a_4)b_24-2a_2^3-6a_1a_2a_3}{6(a_2-a_1)(a_2-a_3)}$$

$$b_{23} = -\frac{6(a_2-a_4)(a_1-a_4)b_2a_4+a_2^3-3a_1a_2^2}{6(a_2-a_3)(a_1-a_3)}$$

$$b_{32} = \frac{6(a_3-a_4)(a_2-a_4)b_34+a_3^3-3a_2a_3^2}{6(a_3-a_1)(a_1-a_2)}$$

$$b_{32} = -\frac{6(a_3-a_4)(a_1-a_4)b_34+a_3^3-3a_1a_3^2}{6(a_3-a_2)(a_1-a_2)}$$

$$b_{33} = -\frac{3(a_1+a_2)a_3^2+6(a_1-a_4)(a_2-a_4)b_34-2a_3^3-6a_1a_2a_3}{6(a_3-a_1)(a_3-a_2)}$$

4. 局が打ち切り模差と名の大小判定

4 終點 7 次陰的 Runge-Kutta 法 の局門打ちわり誤差を Timl とすると、

$$T_{n+1} = y_{n+1} - y(x_{n+1})$$

= $t_n h_n^8 + O(h_n^9)$ (4.1)

と言くことができる。ここで 9n+1 みがり(xn+1)は,それぞれりn=り(xn)のときの 4段数り次は(2.2),(2.3)による数値解及が

理論解を示す。またかは、次の(4·2)によって定義される闽教 きな=な, y= ynにかいて評価(たものである。

```
t_n=a_{71}f'(f'(f'(f'(f'(f'(f'(f))))))+a_{72}f'(f'(f'(f'(f'(f'(f.f))))))
  +a73f'(f'(f'(f'(f'(f),f))))+a74f'(f'(f'(f''(f,f,f))))
  +a75f'(f'(f'(f'(f'(f'(f)),f))))+a78f'(f'(f'(f'(f'(f,f),f))))
  +a77f'(f'(f'(f'(f'(f),f'(f)))))+a78f'(f'(f'(f''(f'(f),f,f))))
 +a79f'(f'(f''(f'''(f,f,f,f))))+a718f'(f''(f''(f''(f''(f))),f)))
 +a_{711}f'(f'(f''(f''(f,f)),f)))+a_{712}f'(f''(f''(f''(f''(f),f),f)))
  +a_{713}f'(f''(f'''(f,f,f),f)))+a_{714}f'(f'(f''f'(f'(f)),f'(f))))
  +a_{715}f'(f''(f''(f,f),f'(f)))+a_{715}f'(f''(f'''f'(f'),f,f)))
  +a_{717}f'(f''(f'''(f,f),f,f)))+a_{718}f'(f'(f'''(f',f),f'(f),f)))
  +a_{719}f'(f'(f''''(f'(f), f, f, f)))+a_{729}f'(f'(f'''''(f, f, f, f, f)))
  +a721f'(f''(f'(f'(f'(f)))), f))+a722f'(f''(f'(f'(f'(f, f))), f))
  +a723f'(f''(f'(f'(f'(f),f)),f))+a724f'(f''(f'(f''(f,f,f)),f))
  +a725f'(f''(f''(f'(f)),f)),f))+a726f'(f''(f''(f,f),f),f))
 +a727f'(f''(f''(f'(f), f'(f)), f))+a728f'(f''(f'''(f''(f), f, f), f))
  +a729f'(f''(f'''(f, f, f, f), f))+a730f'(f''(f'(f'(f))), f'(f)))
 +a731f'(f''(f''(f,f)),f'(f)))+a732f'(f''(f''(f''(f),f),f'(f)))
  +a733f'(f''(f'''(f,f,f),f'(f)))+a734f'(f''(f'(f'(f)),f'(f'(f))))
  +a735f'(f''(f'(f)), f''(f, f)))+a736f'(f''(f, f), f''(f, f))
                                                                       (4.2)
  +a737f'(f'''f'(f'(f'(f))), f, f))+a738f'(f'''f'(f''(f, f)), f, f))
  +a739f'(f'''(f''(f',f),f,f))+a740f'(f'''(f'''(f,f,f),f,f))
  +a_{741}f'(f'''f'(f'(f)), f'(f), f))+a_{742}f'(f'''(f''f, f), f'(f), f))
  +a_{743}f'(f'''(f'(f), f'(f), f'(f))+a_{744}f'(f''''(f'(f)), f, f, f))
 +a745f'(f''''(f,f),f,f,f))+a746f'(f''''(f'(f),f'(f),f,f))
  +a747f'(f'''''(f, f, f, f, f))+a748f'(f'''''(f, f, f, f, f, f))
 +a_{749}f''(f'(f'(f'(f'(f)))), f)+a_{750}f''(f'(f'(f'(f,f))), f)
  +a751f''(f'(f'(f'(f),f))),f)+a752f''(f'(f'(f''(f,f,f))),f)
 +a753f''(f'(f''(f'(f)), f)), f)+a754f''(f''(f''(f, f), f)), f
  +a755f''(f'(f''(f'(f), f'(f))), f)+a756f''(f'(f'''(f'(f), f, f)), f)
  +a757f''(f'(f''''(f, f, f, f)), f)+a758f''(f''(f'(f'(f))), f), f)
  +a759f''(f''(f''(f,f)), f), f)+a760f''(f''(f''(f), f), f), f)
  +a_{761}f''(f'''(f,f,f),f),f)+a_{762}f''(f''(f'(f'(f)),f'(f)),f)
  +a_{763}f''(f''(f''(f,f),f'(f)),f)+a_{764}f''(f'''(f'(f)),f,f),f)
 +a7esf''(f'''(f, f), f, f), f)+a7eef''(f'''(f'(f), f'(f), f), f)
  +a787f"(f""(f'(f), f, f, f), f)+a788f"(f""(f, f, f, f, f, f), f)
 +aresf''(f'(f'(f'(f'(f)))), f'(f))+arrsf''(f'(f'(f''(f,f))), f'(f))
```

```
+a771f''(f'(f''(f',f),f)), f'(f))+a772f''(f'(f'''(f,f,f)), f'(f))
+a773f''(f''(f'(f'(f)), f, f'(f))+a774f''(f''(f, f), f), f'(f))
+a775f''(f''(f'(f), f'(f)), f'(f))+a776f''(f'''(f'(f), f, f), f'(f))
+a777f''(f''''(f, f, f, f), f'(f))+a778f''(f'(f'(f))), f'(f'(f)))
+a779f''(f'(f'(f'(f))), f''(f, f))+a788f''(f'(f''(f, f)), f'(f'(f)))
+a_{781}f''(f'(f''(f,f)), f''(f,f))+a_{782}f''(f''(f'(f),f), f'(f'(f)))
+a783f''(f''(f'(f), f), f''(f, f))+a784f''(f'''(f, f, f), f'(f'(f)))
+a785f''(f'''(f, f, f), f''(f, f))+a786f'''(f'(f'(f'(f'(f)))), f, f)
+a787f'''(f'(f''(f,f))), f, f)+a788f'''(f'(f''(f'(f),f)), f, f)
+aresf'''(f'(f''(f, f, f)), f, f)+arsef'''(f''(f'(f)), f), f, f)
+a791f'''(f''(f,f),f),f,f)+a792f'''(f''(f'(f),f'(f)),f,f)
+a793f'''(f'''(f',f,f),f,f)+a794f'''(f''''(f,f,f,f),f,f)
+a795f'''(f'(f'(f))), f'(f), f)+a798f'''(f'(f''(f, f)), f'(f), f)
+a797f'''(f''(f'(f), f), f'(f), f)+a798f'''(f'''(f, f, f), f'(f), f)
+a799f'''(f'(f'(f)), f'(f'(f)), f)+a7188f'''(f'(f'(f)), f''(f, f), f)
+a_{7181}f'''(f''(f,f),f''(f,f),f)+a_{7182}f'''(f'(f'(f)),f'(f),f'(f))
+a_{7103}f'''(f''(f,f),f'(f),f'(f))+a_{7104}f''''(f'(f'(f))),f,f,f)
+a7185f''''(f'(f''(f, f)), f, f, f)+a7186f''''(f''(f'(f), f), f, f, f)
+a_{7107}f''''(f',f,f),f,f,f)+a_{7108}f''''(f'(f',f)),f'(f),f,f)
+a7109f'''(f'(f, f), f'(f), f, f)+a7110f'''(f'(f), f'(f), f'(f), f)
+a7111f''''(f'(f'(f)), f, f, f, f)+a7112f''''(f''(f, f), f, f, f, f)
+a7113f''''(f'(f), f'(f), f, f, f)+a7114f'''''(f'(f), f, f, f, f, f, f)
+a7115f'''''(f, f, f, f, f, f, f)
```

ただし、anj (j=1,2,...,115) は公本(22)、(23) のパラメータのかの関数で、 $t_1 = \sum_{i,j=1}^{4} w_i a_i^2 b_{ij} a_j^3 - 1/32 \qquad t_2 = \sum_{i=1}^{4} w_i a_i^2 - 1/3 \qquad (4.3)$

とかくと次のように花される。

a71=- ti/36	a72=-t/36	a73=-t1/12	a74=-t1/36	a75=-t2/36	
a78=-t2/36	a77=-t2/48	a78=-t2/24	a79=-t2/144	a710=t1/12	· · · · · · · · · · · · · · · · · · ·
a711=t1/12	a712=t1/4	a713=t1/12	a714=t2/24	a715=t2/24	
a716=t2/24	a717=t2/24	a718=t2/16	a719=t2/24	a728=t2/240	
a721= t1/18	a722= ti/18	a723=t1/6	a724=t1/18	a725=t2/18	· Angles
a726=t2/18	a727=t2/24	a728=t2/12	a729=t2/72	a730=-t1/12	(4.4)
$a_{731} = -t_1/12$	a732=-t1/4	a733=-t1/12	a734=-t2/72	a735=-t2/36	
a736=-t2/72	a737=-t1/12	a738=-t1/12	a739=-t1/4	a740=-t1/12	
$a_{741} = -t_2/12$	a742=-t2/12	a743=-t2/48	a744=-t2/36	a745=-t2/36	
a746=-t2/16	a747=-t2/48	a748=-t2/720	a749= /36	a750= = 3/36	
a751=t1/12	a752=t1/36	a753=t2/36	a754=t2/36	a755=t2/48	4-

a756=t2/24	a757=t2/144	a758=-t1/12	a759=-t1/12	a768=-t1/4
a761 =-t1/12	a762=-t2/24	a783=-t2/24	a764=-t2/24	a765=-t2/24
a766=-t2/16	2767=-t2/24	a768=-t2/240	a769=- 1/36	a778=- \$/36
a771=-t1/12	2772=-t1/36	a773=-t2/36	a774=-t2/36	a775=-t2/48
a776=-t2/24	a777=-t2/144	a778=t1/36	a779=t1/36	a780=t1/36
a781=t1/36	a782=t1/12	a783=t1/12	a784=t1/36	a785=t1/36
a786=-t1/36	a787=-t1/36	a788=-t1/12	a789=-t1/36	a790=-t2/36
a791=-t2/36	2782=-t2/48	a793=-t2/24	a794=-t2/144	a795=t1/12
a796=t1/12	a797= t1/4	a798=t1/12	a799=t2/72	a7100=t2/36
a7101=t2/36	a7182=t2/48	a7103=t2/48	a7184=t1/36	a7185=t1/36
a7106=t1/12	a7107=t1/36	a7108=t2/24	a7189=t2/24	a7118=t2/48
a7111=t2/144	a7112=t2/144	a7113=t2/48	a7114=t2/240	a7115=t2/5040

また、(4·2)にかける anj (j=1,2,---,115)の因数は、微分方程式の右辺の関数に依存して定まる関数である。(くわしくは文献で3)または[4]を見よ)

4段散了水陰的 Runge-Kutta 法の局門打ち切り誤差の大小を 判定するために, 問題 (21)に独立で, 公文 (2·2), (2·3)の係数の什に依存する次の判定基準を用いる。

$$A_{72} = \sum_{j=1}^{115} |a_{7j}| \quad (4.5) \qquad A_{73} = \sum_{j=1}^{115} a_{7j} \quad (4.6)$$

(4.5) 及が (4.6) によって定義される判定基準を、公式 (2.2) の打ち切り精度判定基準という。これらの判定基準は、他次法にかいて打ち切り護差の観点からの最適化に使用され、人の有効性が実証されているものである。

5. 安定性とその評価

51 安定性の諸概念とくの相互関係

テスト方程式

12 S 彩散除的 Runge-Kutta 法专通用すると,

が得られる。ここで R(h)は h入の有理関数である。

[定義 1] R(h)) & S段散陰的 Runge-Kutta 法 の安定函散という。

- [定義2] | R(hλ) | ≤ 1 であるとき S 段数陰的 R u n g e K u t t a 法は、 そのh入に対して絶対安定であるという。
- [定義3] s = {hλ | | R (hλ) | ≤ 1, hλ は複素数 } によって定義される複素平面上の領域sを、S段数陰的Runge-Kutta法の絶対安定領域という。
- [定義4] s ⊃ {hλ | Re(hλ) < 0, hλ は複素数 } であるとき、 S 段数陰的Runge Kutta法はA安定であるという。 変係数の微分方程式

$$y'=\lambda(t)y(\lambda(t))$$
 (1) は、 t の 複素関数) (5.3)

にS段数陰的Runge-Kutta法を適用すると

$$y_{n+1} = \{ 1 + W 1^{T} \xi (I - B \xi)^{-1} e^{T} \} y_{n}$$
 (5.4)

が得られる。ここで

$$W 1 = \begin{bmatrix} w_1 \\ w_2 \\ \vdots \\ w_s \end{bmatrix} \qquad B = \begin{bmatrix} b_{11} & b_{12} & \cdots & \cdots & b_{1s} \\ b_{21} & b_{22} & \cdots & \cdots & b_{2s} \\ \vdots \\ b_{s1} & b_{s2} & \cdots & \cdots & b_{ss} \end{bmatrix} e = \begin{bmatrix} 1 \\ 1 \\ \vdots \\ 1 \end{bmatrix} \quad (5.5)$$

ま = diag(ξ 1, ξ 2, ······, ξ s) = diag(h λ (tn+a1h), h λ (tn+a2h), ······, h λ (tn+ash)} である。

[定義5] S段数陰的Runge-Kutta法は、もし K(を)=1+W1'を(I-Bを)-'e' (5.6) が、 $Re(\xi_i) \le 0$ (i=1,...s) であるようなすべての $\xi = diag(\xi_1,\xi_2,\cdot\cdot\cdot\cdot\xi_s)$ $(a_i=a_i \to \xi_i=\xi_i)$ に対して

 $|K(\xi)| \leq 1 \tag{5.7}$

ならばAN安定であるという。

[定理1]陰的Runge-Kutta法がAN安定ならばA安 定である。

[定義 6] a:=a; であるようなi,j(i≠j)が存在すれば、

Runge - Kutta法はconfluent、そうでなければnonconfluentであるという

同一のRunge-Kutta法の相異なる初期値から得られる 二つの数値解をyn及びynとしよう。

また

[定義7] (5·8)を満足する自励系とすべてのyn, yn, h>0に対して

$$||y_{n+1} - y_{n+1}|| \le ||y_n - y_n||$$
 (5.9)

ならば、その陰的Runge - Kutta法はB安定であるという。

[定義8] (\$\(\) (

[定理2]陰的Runge-Kutta法がBN安定ならばB安 定である。

行列Mを次式によって定義する。

$$M = W B + B W - W 1 W 1$$
 (5.10)

ここで、 B 及び W 1 は (s.5)で 定義された行列及び列ベクトルであり、

また W は次のような行列である。
$$W = \begin{bmatrix} w_1 & 0 & \cdots & 0 \\ 0 & w_2 & \cdots & 0 \\ \vdots & \vdots & & \vdots \\ 0 & 0 & \cdots & w_s \end{bmatrix}$$

「定義9] 行列W及びMが非負値行列である陰的Runge-Kutta法を代数的安定であるという。

ある 陰 的 R u n g e - K u t t a 法 が 代 数 的 安 定 で ある か 否 か は、 その方法のパラメータにより行列M及びWを計算することにより簡 単に確認できる.

「定理3] 陰的Runge-Kutta法が代数的安定ならば BN安定である。

この定理により代数的安定性をもつ方法を用いて(5.8)を満足する Stiff非線形問題等を解けば、その数値解がある値に収束することが 理論的に保証される。

[定理4]S段数2S次陰的Runge-Kutta法は代数的 安定である。

[定理5] nonconfluentである陰的Runge-Kutta法に 対して

- (1) 代数的安定 → BN安定
- (2) 代数的安定 → AN安定 また任意の陰的Runge-Kutta法に対して
- (3) AN安定 → A 安 定
- → B 安 定 (4) BN安定 が成立する。

5.2 安定性の優劣の評価

陰的 Runge-Kutta法の安定性の優劣は、その方法が有限の絶 村安定領域をもっ場をには、その絶対安定領域の厚点を含む草

連結作用部分領域(1の用部分領域方有効化対安交領域とよびSeで表すことにしよう。)の面積 A(Se)または、Seと実動との交介 SI= SenR=[-以のの](このSIを絶対安定区向という)の長さいよって測る。絶対安定領域が有限でないとされ、包を関係または定理与による。

5.3 4段数 7次降的 Runge-Kutta 法内牢定性

4段數7次階的Runge-Kutta 法の安定関數は,

$$\beta_0 = b_{11} + b_{22} + b_{33} + b_{44}$$
 (5.11)

とかくとBの肉数に作り、水のように表される。したがって、Boが決まれば安定性は一意に定まることになる。

R(hA, Ae)

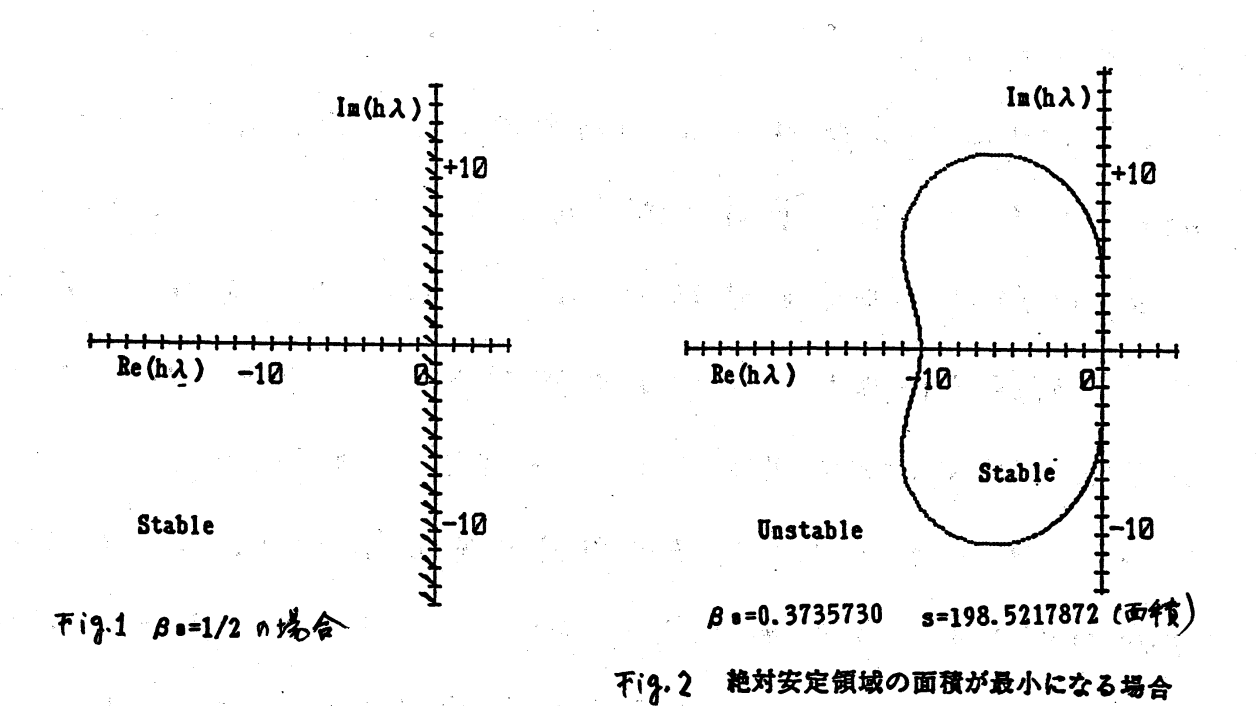
$$=\frac{1+(1-\beta \circ) h \lambda - (\beta \circ/2-5/14) h^2 \lambda^2 - (\beta \circ/10-13/210) h^3 \lambda^3 - (\beta \circ/120-1/210) h^4 \lambda^4}{1-\beta \circ h \lambda + (\beta \circ/2-1/7) h^2 \lambda^2 - (\beta \circ/10-4/105) h^3 \lambda^3 + (\beta \circ/120-1/280) h^4 \lambda^4}$$
(5.12)

この場合安定性について次の事が、いえも

- (i) fo= 1/2 なられ、絶対安定領域の境界は虚軸となり、左牛面が絶対安定領域となる。(Fig. 1 を見よ)
- (ji) Poくこならば、|R(la/pa)|=1の境界で囲まれたた半平面上の領域内が絶対安定領域になる。
- (iii) 的> 立ならば、「R(hon,的)=1の境界で囲まれた右半平面上の領域外で絶対安定に作る。
- (iv) Po+ Po"=1 (Po> =) ~ちかとき、Po= Po" と Po= Po" のかのかの い対する絶対方定領域の境界は厚点に関して対称であること

が容易に知られる。

- (ν) β₀=0.3735730付近で絶対安定領域の面積が最小に することが実験的に確められる。(不可.2 を見よ) (iv) にかいて 述べたことから、絶対不安定領域の面積 はβ₀=1-0.3735730 =0.626427にかいて最小になり、その最小面積はβ₀=0.3735730 い対応する最小絶対安定領域の面積と一致する。またこれらの 領域は虚軸に対して対称である。
- (Vi) 4段数7次陰的Runge-Kutta法の解率にかいて、代對的安定とA安定が等価であることが実験的に確められた。



6. 特性図とくの観躍から得られる結構

Tig.3 は,自由パラメータのQ4とb44をそれぞれ両軸にとって, 4較数7次陰的 Runge-Kutta 法 (2-2), (2-3)の打ち切り誤差特性 と安定特性か、自由ベラメータの変動に伴ってどのように変動するかを囲ましたものである。すなわち、打ち切り誤差特性の変動の模様は、判定基準A73の等高線圏によって半し、安定特性は、周平面に絶対安定領域最小及び最大の曲線と、最も強い安定である代数的安定(この解車にかいはA安定と等価である)の範囲を囲示することによってなされた。

Tig. 3の観摩から次のようなことかわかる。

- (1) Butcherの4段散公式は確かは8次で、これ以上高精度な公式は存在しないこと。またこれが唯一つの8次公式であることかわかる。
- (2) Butchenの公共は、Q4-b44平面上で代数的安定(またはA 安定)ともうでない範囲の境界線上に存在していること。
- (3) 代数約12中定な領域の内部深く絶対安定領域の面積最大の公文群が存在し、私よるの利用によりくの中で打ち切り精度を良の保存かどの辺に存在するか予想できること。
- (4) このタイプの公介中実用的に有意義な公文は、Q4-b44 平面のどのような範囲に現れるか知ることができる。また、既知公文をはじめとするこのタイプの任意の公文は、不写、3のグラフ上の一点として表すことができ、その特性値の近似値を容易に関上で読みとることができること。

上記の(2)に示すようにButchenの公式で最も強い安定性,すなわち

代数的安定性をもつが、その安定は臨界的なので、なか十分そのを味を検討する中事があると思われる

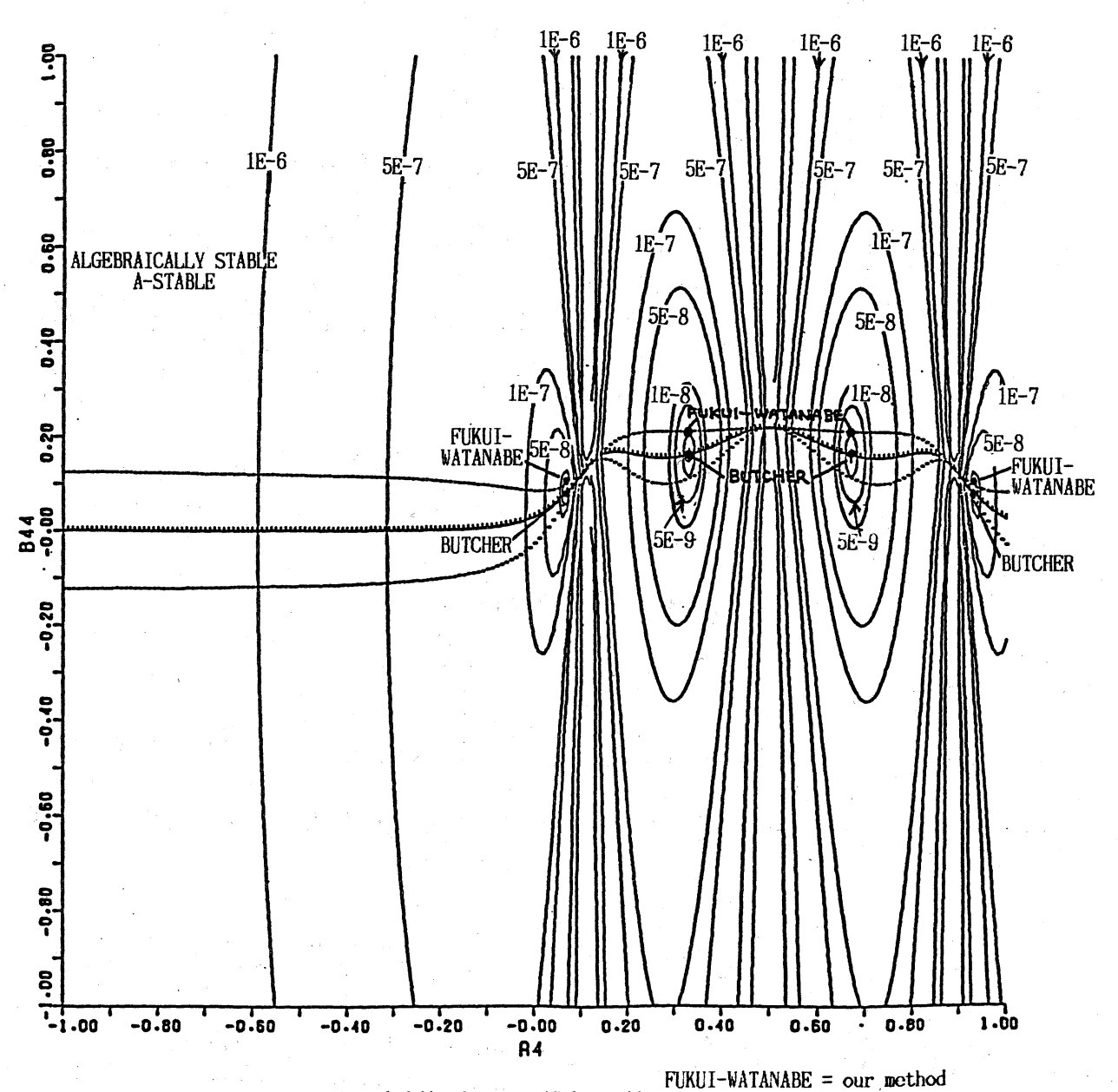


Fig.3 安定性と打ち切り精度の関係

7. 任意の安定特性をもつ打ち切り精度最良な公式 4.の記述と若干の考摩から、4段数7次降的 Runge-Kutta法(2.2),(2.3) の打ち切り糟度判定基準 Anz, Ans 及びも、tzは、定数 x, p, おら、な & なg(x,y)を適当に選ぶと次のように表されることがわかる。

$$A_{72} = x |t_1| + \beta |t_2|$$
 $A_{73} = x t_1^2 + \delta t_2^2$
 $t_1 = 3(2\beta_0 - 1)$ $t_2 = g(a_4, b_{44})$

これより Poを適当に定めたとき (中定性を適当に定めたとき)打ち切り精度最良な公式は、信を最小にするものであることが知られる。 春2 に示するは、Poを固定したとき打ち切り精度判定基準 Ansを最小にする公式である。 また、表3 に デすのは、 Poが絶対学定領域の面積を最大にするように選ばれたときの打ち切り精度最良の公式である。 表4に、Butchenの公式をが利えてよって等かれた表3の公式の特性値を示す。

8. 数值例

你我的讚學「誤了如你以ことを立証するため、non-stiffの挑 線形向題及がStiff問題各一例の科算結果を,表了及於盡台上揭 叶子。

公式名	βι	面積	XII	A73
Butcher 5\(\frac{2}{2}\) FUKUI-WATANABE	1/2 0. 6292570		的安定 的安定	0 1. 0819644046995D-9

表 4 公式の特性

注2) Fukui-Watanabe がれたいよって得られたながっある

部幹公式の計事に誤りかないかどうかチェックしてくれた杉田佳代。四中久息の西見に威部致します。

	0. 93056815579703	0. 66999052179243	0. 33000947820757	0. 069431844202973			0. 93056815579703	0. 66999052179243	0. 33000947820757	0. 069431844202973	
0. 17392742256873	0.16286756590839	0, 18693750642677	0.16837253304728	0. 10157871763050	表3 安定性、打	0. 17392742256873	-0. 013435073049718 +0. 0064913808832687 & a -0. 057410609270816	0.0020825978912374 +0.0035033518188928/8 n 0.022933367565903	-0.0026319274771117 +0.0015200764923038,8 a -0.0099506057993651	0.00028529369424496 +0.0010601052536769 & a 0.0093757075111167	表 2 Baが与えに
0.32607257743127	0. 35046339236738	0. 30393951237988	0. 21304978236951	-0.063622457710523	并	0.32607257743127	0.0055331853653993 +0.0093079394230175 & a 0.032500602490799	-0.0071070017094842 +0.0050234283111965βα -0.012982761766538	-0.00017141029408379 +0.0021796255932516 & • 0.0056331170794977	-0.00061883223487302 +0.0053076625863941 β a -0.0053076625863941	80が与えられたとき打ち切り誤差が最小となる公式
0. 32607257743127	0. 31565847989077	0. 21304978236951	-0.077893922256341	0. 049645740314929	(FUKUI-WATANABEの公式)	0. 32607257743127	-0. 037143286963060 +0. 021452201039140 β a -0. 074904812637873	-0.00091048651979413 +0.011577599417011 \(\beta\) \(\beta\) 0.029921640311744	-0.0021497491931033 +0.0050234283111965β• -0.012982761766538	0.0015972081985714 +0.0035033518188928 <i>β</i> • 0.012232680046207	かとなる公式
0. 17392742256873	0. 10157871763050	-0. 033936279383725	0.026481085047122	-0. 018170156031937		0. 17392742256873	0.0018605290041467 +0.0069134250482967 & • 0.061143222267830	-0. 0015189637328277 +0. 0037311260351639 β o -0. 024424405318838	-0.00073807311713554 +0.0016189059132713 & a 0.010597555222244	-0.00052901541040850 +0.0011290291459389 & • -0.0099852792985735	

BUTCHER1 BUTCHER2 RADAU NODES M. BUTCHER2 & RADAU NODES RADAU IA RADAU IIA RADAU IIA RADAU IIA	没	 杰 5 数值実験結果(1) I y' = -x²y²/3 y(2) = 1 	BUTCHER1 BUTCHER2 RADAU NODES M. BUTCHER2 & RADAU NODES RADAU IA RADAU IIA RADAU IIA RADAU IA & IIA	《参考》 3段数5次法の数値実験結果い	FUKUI-NATANABE BUTCHER
第一ステップ 真値 9.86777077519D-01 1.80D-16 7.73D-15 6.40D-15 7.06D-15 -6.04D-15 -7.37D-15	河707	h=0.01 100ステップ	第一ステップ 真値 1. 19706575628D-01 1. 62D-03 1. 23D-02 1. 24D-02 1. 24D-02 1. 24D-02 -6. 19D-04 -6. 10D-04	(験結果(4)	第一ステップ 真値 1.19706575628D-01 5.80D-04 -5.02D-04
最終ステップ 真値 3. 21428571429D-01 4. 33D-15 6. 59D-14 4. 81D-14 5. 70D-14 -5. 71D-14 -4. 81D-14	最終ステップ 真値 誤差 3.21428571429D-01 -2.50D-16 -1.39D-16		最終ステップ 真値 4.11051463866D-01 8.20D-08 -1.27D+07 -1.28D+07 -1.28D+07 -1.88D-05 -5.35D-08 -9.40D-06		最終ステップ 真値 4.1105146386D-01 2.56D-08 1.08D-09
最大誤差 5.19D-15 1.10D-13 8.49D-14 9.74D-14 -7.48D-14 -9.99D-14 -8.73D-14	最大觀差 -3.05D-16 -2.22D-16		最大誤差 1.62D-03 -1.27D+07 -1.28D+07 -1.28D+07 -1.27D+07 -6.19D-04 -6.10D-04		最大款差 5.80D-04 -5.02D-04

〔文献〕

- 1. 田中,山下,高山,山下佚), Runge-Kutta 法 12 (東 する = = 9 話題 12 7 11 7, エ 2谷か3水陰的 Runge-Kutta 法の打ち切り精度と安定性の 東係, 数理解析研究計構究会 585, 1.54~2662 (1986)
- 2. 田中, 三村, 山下, 陰约 Runge-Kutta 法《特性1271717, 数理解析 新石印完产作等增强 643, 1.48~1.73 (1988)
- 3. Butcher, J. C., The Numerical Analysis of Ordinary Differential Equations (Runge-Kutta and general Linear Methods), John Wiley & Sons (1987)
- 4. Hall, G. and Watt, J. M., Modern numerical methods for (Eds.) ordinary differential equations, Clearendon Press. Oxford (1976)